

3. H. HILDEBRANDT, Über das Verhalten halogensubstituierter Toluole und der Amidobenzoesäuren im Organismus, *Hofmeisters Beiträge*, **3**, 365, 1903.
Monobrombenzol. (u. 10^{18}) = 1,52.
4. E. BERGMANN Γ. L. ENGEL U. ST. SANTOR, *Z. Physikal. Ch. (B)*, **10**, 106, 1930, ebenda **10**, 397, 1930.
 L. M. DAS U. C. C. ROY, *Indian J. Phys.*, **5**, 441, 1930.
 L. M. HEIL, *Physik. Rev.*, **39**, 666, 1932.
 K. HOJENDAHL, Studies of Dipole-moment, Kopenhagen 1928 u. *Phys. Z.*, **30**, 391, 1929.
 H. MÜLLER U. H. SACK, *Physikal. Z.*, **30**, 815, 1930.
 L. TIGANIK, *Z. Physikal. Ch. (B)*, **13**, 425, 1931.
 J. W. WILLIAMS, *J. Am. Chem. Soc.*, **50**, 2350, 1928. Siehe auch Zusammenfassung dieser Arbeiten in: *Physikal. Z.*, **29**, 174 u. 683, 1928.
 A. C. HAMPSON, *Trans. Farad. Soc.*, **30**, 1934.
 A. NUKADA, *Nia. Chem.*, **5**, 41, 1932.
Bromtoluol. (o-Bromtoluol u. 10^{18} = 1,44, m = 1,75, p = 1,94).
 o-Bromtoluol: L. TIGANIK, *Z. physikal. Ch. (B)*, **13**, 425, 1931.
 m-Bromtoluol: » » » » » »
 p-Bromtoluol: » » » » » »
 p-Bromtoluol: C. C. HAMPSON, u. R. H. FARMER U. L. E. SUTTON, *Pr. Roy. Soc.* **143**, 147, 1933.
5. GATTERMANN, Die Praxis des organischen Chemikers, 1921, S. 253.
 6. BEILSTEINS, Handbuch der organischen Chemie, 4. Aufl., **5**, S. 304, 1922.

ΑΝΟΡΓΑΝΟΣ ΧΗΜΕΙΑ.— Σπουδὴ ἐπὶ τῆς διαλυτότητος τοῦ ὑποχλωριούχου χαλκοῦ ὑπὸ ἀμμωνιακῶν διαλυμάτων*, ὑπὸ Κ. Θ. Καββασιάδου.
 Ἀνεκοινώθη ὑπὸ κ. Κ. Ζέγγελη.

Εἰς τὴν βιομηχανίαν μεγάλα ποσὰ ὑποχλωριούχου χαλκοῦ καταναλίσκονται διὰ τὴν ἀπορρόφησιν τῶν ὑπολειμμάτων τοῦ μονοξειδίου τοῦ ἀνθρακος τὰ ὅποια διαφεύγουν τὴν καταλυτικὴν μετατροπὴν πρὸς διοξείδιον κατὰ τὴν παραγωγὴν καθαροῦ ὑδρογόνου ἀπὸ ὑδραέριον.

Τὰ χρησιμοποιούμενα διαλύματα τοῦ ὑποχλωριούχου χαλκοῦ διακρίνονται κυρίως εἰς ὑδροχλωρικά καὶ ἀμμωνιακά, καίτοι καὶ ἄλλα διαλύματα εὔρον ἐφαρμογὴν ὡς εἰς χλωριούχον ἀμμώνιον, ὀργανικὰ ὀξέα κ. ἄ.

Ἀμμωνιακὰ διαλύματα ἀναφέρονται πλεῖστα ἐν τῇ βιβλιογραφίᾳ ἂν καὶ φαίνεται μᾶλλον δύσκολος ἡ ἐκλογή τοῦ καταλληλοτέρου. Οὕτως ὁ W. Himus¹, οἱ Treadwell

* C. TH. KAVASSIADIS.—The solubility of cuprous chloride in ammonia of varying strengths and ammonium chloride.

¹ W. HIMUS, Fuel analysis, 1933.

και Hall¹ και οι L. Moser και F. Hanika² περιγράφουν αντιδραστήρια τῶν κάτωθι συστάσεων μεγάλως διαφέροντα μεταξύ τῶν, ἕκαστος δὲ τῶν ἀνωτέρω συγγραφέων ὑποστηρίζει και συνιστᾷ τὸ ἰδικόν του ὡς τὸ πλέον κατάλληλον και προτιμώτερον.

	Cu	NH ₃	H ₂ O
V. Himus	2.3 mols	4.1 mols	3.6 mols
Treadwell and Hall	2.0	8.9	6.9
L. Moser und F. Manika	1.2	7.7	1.2

Ἐθεωρήθη ὅθεν σκόπιμον ὅπως ἐρευνηθῆ ἡ διαλυτότης τοῦ ὑποχλωριούχου χαλκοῦ εἰς διαλύματα ἀμμωνίας ἀφ' ἑνὸς μὲν ὅπως εὔρεθούν πυκνότερα διαλύματα ἀπὸ τῶν μέχρι τοῦδε φερομένων εἰς τὴν βιβλιογραφίαν, ἀφ' ἑτέρου δὲ ὅπως εὔρεθούν κατὰ τὸ δυνατόν οἱ συνδυασμοὶ μεταξύ τῶν μορίων τοῦ ὑποχλωριούχου χαλκοῦ και τῆς ἀμμωνίας κατὰ τὴν ἀλληλεπίδρασίν των.

ΠΕΙΡΑΜΑΤΙΚΟΝ ΜΕΡΟΣ

Ἐξετελέσθησαν σειρὰ πειραμάτων εἰς τὰς ὁποίας ἐχρησιμοποιήθησαν 4, 6 και 8 N διαλύματα ἀμμωνίας εἰς ἄ προσετίθετο στερεὸς ὑποχλωριούχος χαλκὸς ἐξόχως καθαρὸς (λευκὸς) κατ' ἀξιοῦσας ποσότητας. Τὰ πειράματα ἐγένοντο εἰς εἰδικὸν θερμοστάτην και εἰς θερμοκρασίαν 25° C. Ἐξετελοῦντο ταυτοχρόνως δώδεκα δοκιμαὶ εἰς δώδεκα φιάλας χωρητικότητος 75 κ. ἐκ. Διὰ τῶν φιαλῶν αὐτῶν ἀφίνετο νὰ διέλθῃ ἐπὶ ὀλίγα λεπτὰ ρεύμα ἀζώτου ἐστερημένον και ἰχνῶν ἔτι ὀξυγόνου ὥστε νὰ ἐκδιωχθῆ τὸ ἀτμοσφαιρικὸν ὀξυγόνον και νὰ ἀποφευχθῆ ἡ ὀξειδωσις τοῦ CuCl. Εἶτα προσετίθετο ὁ ὑποχλωριούχος χαλκὸς και τὸ διάλυμα τῆς ἀμμωνίας. Ἡ ὅλη συσκευὴ ἐτίθετο ἐν λειτουργίᾳ και αἱ φιάλαι ὑπὸ συνεχῆ ἀνατάραξιν ἀφίνοντο ἐπὶ τρία ἡμερονύκτια ὅπως ἐπιτευχθῆ κατάστασις χημικῆς ἰσορροπίας. Ἀφίνοντο ἐπὶ τινὰς ὥρας νὰ ἀποχωρισθοῦν αἱ φάσεις και ἐγένοντο αἱ ἀναλύσεις προσδιοριζομένου τοῦ χαλκοῦ ἐν τῷ διαλύματι.

Εἰς τοὺς πίνακας I, II, III, εὔρισκονται τὰ ἀποτελέσματα τῶν ἀναλύσεων διὰ 4, 6 και 8 N διαλύματα ἀμμωνίας, εἰς δὲ τὰς εἰκ. 1, 2 και 3 αἱ καμπύλαι ἐλήφθησαν ἐὰν ἐπὶ τοῦ ἄξονος τῶν τετμημένων θέσωμεν τὸ ποσὸν τοῦ ὑποχλωριούχου χαλκοῦ εἰς γραμμάρια ἀνὰ 100 κ. ἐκ. διαλύματος ἀμμωνίας, εἰς δὲ τὸν ἄξονα τῶν τεταγμένων τὸ ποσὸν τοῦ ὑποχλωριούχου χαλκοῦ τὸ εὔρεθὲν εἰς τὸ τελικὸν διάλυμα εἰς γραμμάρια ἀνὰ 100 κ. ἐκ. διαλύματος. Ὁ ποσοτικὸς προσδιορισμὸς τοῦ χαλκοῦ ἐγένετο ὀγκομετρικῶς κατὰ τὴν μέθοδον Haen-Low³.

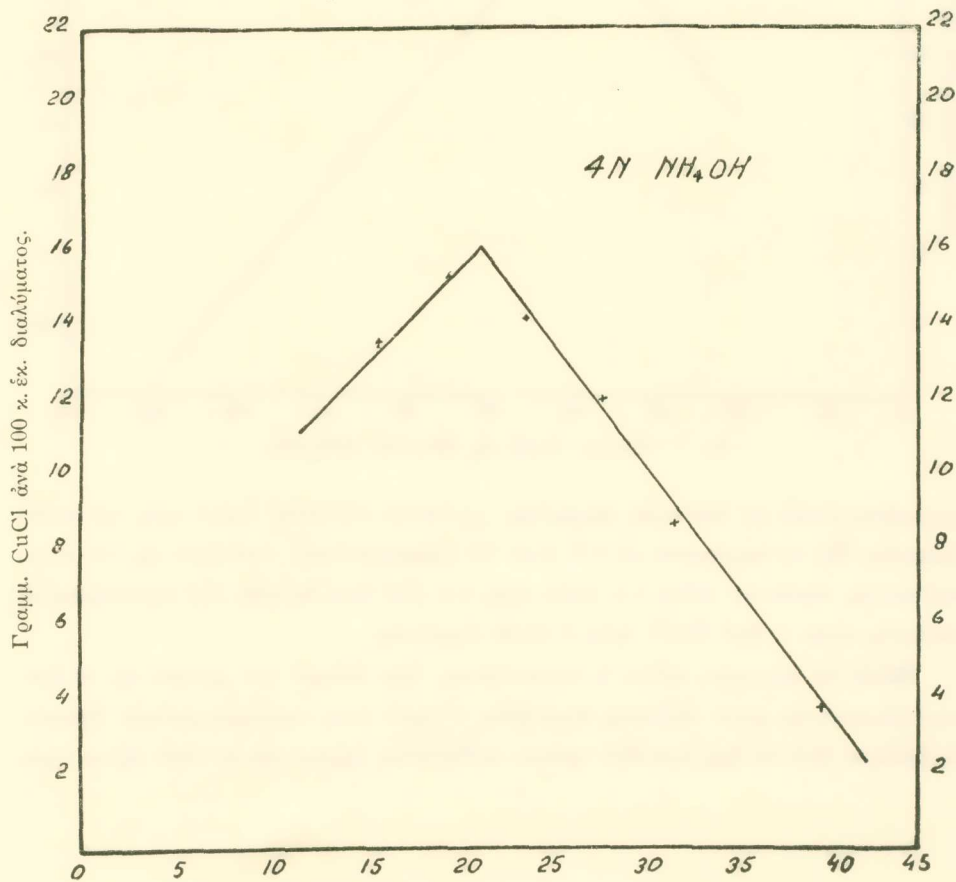
Ἀπὸ τοὺς πίνακας I, II, III και τὰς καμπύλας, δεικνύεται ὅτι καθὼς ἡ προστιθεμένη ποσότης τοῦ ὑποχλωριούχου χαλκοῦ ἀυξάνει και ἡ ποσότης τοῦ χαλκοῦ εἰς

¹ TREADWELL and HALL, Quantitative Analysis, 1937.

² L. MOSER und F. HANIK, Z. Anal. Chemie, **67**, 448, 1926.

³ HAEN-Low, Technical methods of ore analysis, London, 1905.

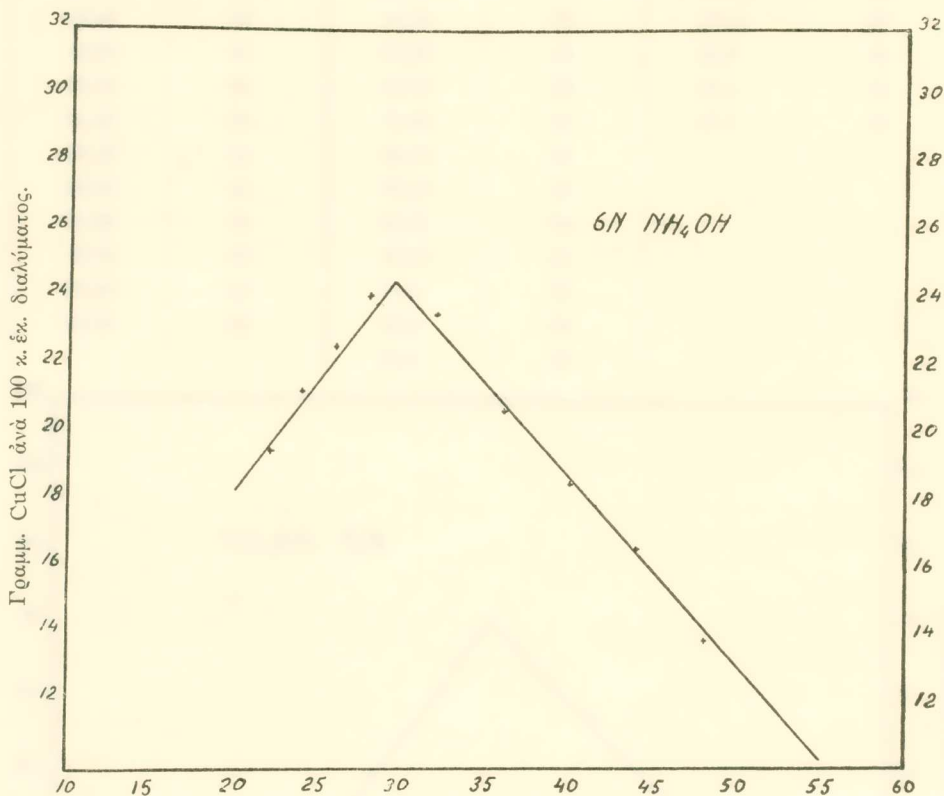
ΠΙΝΑΞ I. (4N NH ₄ OH)		ΠΙΝΑΞ II. (6N NH ₄ OH)		ΠΙΝΑΞ III. (8N NH ₄ OH)	
Στερεός CuCl ανά 100 κ. έκ. διαλύματος 4N NH ₄ OH	CuCl ανά 100 κ. έκ. τελικ. διαλύματος	Στερεός CuCl ανά 100 κ. έκ. διαλύματος 6N NH ₄ OH	CuCl ανά 100 κ. έκ. τελικ. διαλύματος	Στερεός CuCl ανά 100 κ. έκ. διαλύματος 8N NH ₄ OH	CuCl ανά 100 κ. έκ. τελικ. διαλύματος
12	10.61	20	18.20	12	10.71
16	13.63	22	19.55	16	14.13
20	15.44	24	21.24	20	17.70
24	14.18	26	22.43	24	21.42
28	12.08	28	23.94	28	24.44
32	8.60	29	24.04	32	26.91
36	5.73	32	23.33	36	30.28
40	3.70	36	20.67	40	32.49
		40	18.40	42	31.89
		44	16.29	44	30.58
		48	13.58	46	29.37
		52	10.91	50	26.91
		56	8.16	54	24.29
		60	6.08	60	20.82
		96	0.99		



Σχ. I.—Γραμμ. CuCl εις 100 κ.έκ. NH₄OH.

τὸ τελικὸν διάλυμα ἐπίσης αὐξάνει, κατ' ἀρχὰς μὲν κανονικῶς μέχρις ἑνὸς ὅριου ὅτε ἀποτόμως ἀρχίζει νὰ ἐλαττοῦται πάλιν κανονικῶς.

Ἡ εἰς χαλκὸν περιεκτικότης τοῦ τελικοῦ διαλύματος φθάνει ἕν μείριστον ὅταν ἡ μοριακὴ ἀναλογία μεταξὺ ἀμμωνίας καὶ ὑποχλωριούχου χαλκοῦ εἶναι 2:1. Π. χ. εἰς τὰ πειράματα μὲ 4 N ἀμμωνίαν, τὸ μείριστον ἐπετεύχθη ὅταν ἐτέθησαν 20 γραμμάρια CuCl εἰς 100 κ. ἐκ. ἀμμωνίας τουτέστιν 0.2 mols CuCl πρὸς 0.4 mols ἀμμωνίας. Εἰς τὰ πειράματα μὲ 6 N ἀμμωνίαν τὸ μείριστον ἐπετεύχθη ὅταν ἐτέθησαν 30



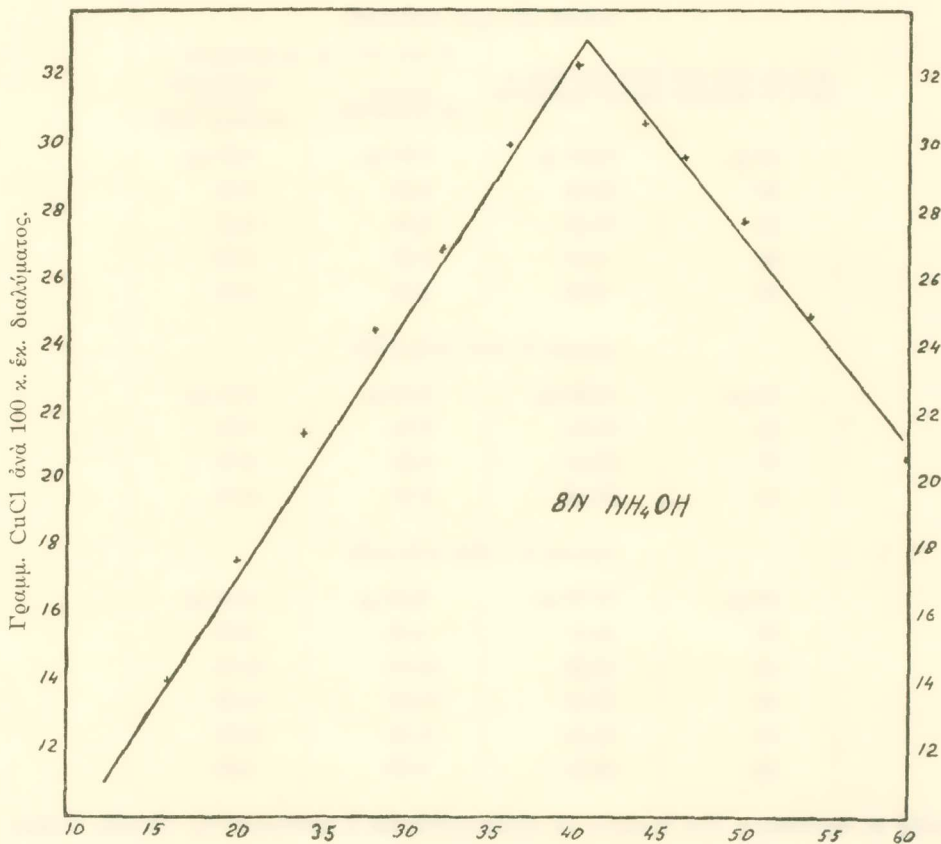
Σχ. 2.—Γραμμ. CuCl εἰς 100 κ. ἐκ. NH_4OH .

γραμμάρια CuCl εἰς 100 κ. ἐκ. ἀμμωνίας, τουτέστιν 0.3 mols CuCl πρὸς 0,6 mols ἀμμωνίας. Εἰς τὰ πειράματα μὲ 8 N ὅταν 40 γραμμάρια CuCl ἐτέθησαν εἰς 100 κ. ἐκ. διαλύματος τουτέστιν πάλιν 0.4 mols πρὸς 0.8. Εἰς ὅλας δηλαδή τὰς περιπτώσεις αἱ ἀναλογίαι εἶναι 1 mol CuCl πρὸς 2 mols ἀμμωνίας.

Μετὰ τὸ μείριστον τοῦτο, ἡ συγκέντρωσις τῶν ἰόντων τοῦ χαλκοῦ εἰς τὸ διάλυμα ἐλαττοῦται μετὰ αὐξούσης ποσότητος στερεοῦ ὑποχλωριούχου χαλκοῦ. Τελικῶς τὸ διάλυμα ἀντὶ νὰ ἔχῃ κυανίζον χροῶμα καθίσταται ἄχρουν καὶ ἀντιδρᾷ ὀξίνως πρὸς

τὸ ἡλιοτρόπιον, πρᾶγμα τὸ ὁποῖον δεικνύει ὅτι ὅλη ἡ ἀμμωνία μετετέθη εἰς τὴν στερεὰν φάσιν.

Ἴνα καθορισθῇ ἡ σύστασις τῆς στερεᾶς φάσεως ἀνελύθη τὸ διάλυμα ὡς πρὸς τὸ γλώριον καὶ ἀμμωνίαν. Τὸ χλώριον προσδιορίσθη κατὰ τὴν μέθοδον Volhard καὶ



Σχ. 3.—Γραμμ. CuCl εἰς 100 κ. ἐκ. NH_4OH

Drechel καὶ εὐρέθη νὰ ἀνταποκρίνηται κατὰ μεγίστην προσέγγισιν πρὸς τὴν συγκέντρωσιν τῶν ἰόντων τοῦ χλωριούχου χαλκοῦ εἰς τὸ διάλυμα ὡς δείκνυται εἰς τοὺς πίνακας IV, V, VI.

Ἡ εὐρεθεῖσα διὰ τῆς ἀναλύσεως ποσότης χλωρίου ἦτο εἰς ὅλας τὰς περιπτώσεις ἐλαφρῶς μεγαλυτέρα τῆς θεωρητικῆς, κατὰ πᾶσαν πιθανότητα ὀφειλομένη εἰς τὴν παρουσίαν ἰχνῶν ἰόντων διατομικοῦ χαλκοῦ.

Ὁ προσδιορισμὸς τῆς ἀμμωνίας ἐξετελέσθη δι' ἀραιώσεως τοῦ διαλύματος εἰς 500 κ. ἐκ., προσθήκης πυκνοῦ διαλύματος καυστικοῦ καλίου καὶ ἀποστάξεως 250 κ. ἐκ.

εις 4 N HCl, όγκομετρουμένης τής περισσείας του HCl. Τα άποτελέσματα δεικνύονται εις τούς πίνακας VII, VIII και IX.

Έφ' όσον τó άρχικόν ποσόν του στερεού υποχλωριούχου χαλκού και τής άμμωνίας ήσαν έπακριβώς γνωστά, και ή σύστασις του τελικού διαλύματος επίσης καθω-

ΠΙΝΑΞ IV. (4N NH ₄ OH)			
Στερεός CuCl ανά 100 κ. έκ. άμμωνίας	CuCl ανά 100 κ. έκ. τελικού διαλύματος	Cl ανά 100 κ. έκ. εκ διαλύματος	
		εύρεθέν δι' άναλύσεως	ύπολογισθέν από την ποσότητα CuCl
12 γρ.	10.61 γρ.	3.88 γρ.	3.80 γρ.
20	15.44	5.62	5.53
24	14.18	5.24	5.07
32	8.60	3.48	3.08
36	5.73	2.29	2.05

ΠΙΝΑΞ V. (6N NH ₄ OH)			
Στερεός CuCl ανά 100 κ. έκ. άμμωνίας	CuCl ανά 100 κ. έκ. τελικού διαλύματος	Cl ανά 100 κ. έκ. εκ διαλύματος	
		εύρεθέν δι' άναλύσεως	ύπολογισθέν από την ποσότητα CuCl
20 γρ.	18.20 γρ.	6.66 γρ.	6.51 γρ.
24	21.34	7.76	7.64
26	22.43	8.50	8.03
29	24.04	9.18	8.60

ΠΙΝΑΞ VI. (8N NH ₄ OH)			
Στερεός CuCl ανά 100 κ. έκ. άμμωνίας	CuCl ανά 100 κ. έκ. τελικού διαλύματος	Cl ανά 100 κ. έκ. εκ διαλύματος	
		εύρεθέν δι' άναλύσεως	ύπολογισθέν από την ποσότητα CuCl
20 γρ.	17.70 γρ.	6.36 γρ.	6.15 γρ.
32	26.91	9.82	9.62
36	30.28	10.96	10.75
40	32.49	11.92	11.65
44	30.58	11.36	10.95
50	36.91	9.80	9.62

ρίσθη δι' άναλύσεως, ήτο δυνατόν νά ύπολογισθῆ και ή σύστασις τής στερεάς φάσεως κατά την επίτευξιν χημικής ίσορροπίας. Οί ύπολογισμοί ούτοι εκτίθενται εις τούς πίνακας X, XI, XII και δεικνύουν ότι κατά την άρχικην ύψωσιν τής συγκεντρώσεως του χαλκού ύπάρχει εις την στερεάν φάσιν άναλογία δύο μορίων άμμωνίας πρós έν μόριον υποχλωριούχου χαλκού, κατά δέ την άκολουθοῦσαν πτώσιν τής συγκεντρώσεως ή άναλογία μεταβάλλεται εις έν μόριον πρós έν (σύγκρισις στηλών IV και VII των πινάκων X, XI και XII).

Οί πιθάνοι τύποι ώς εκ τούτου δύνανται νά είναι ό CuCl.2NH₃.2H₂O και ό CuCl.NH₃.H₂O. Ό τελευταίος ούτος θά ήδύνατο νά γραφῆ και ώς CuOH.NH₄Cl, άλλ' έχων τις ύπ' όψει ότι μάλλον άνάλογος πρós τόν πρῶτον όφείλει νά είναι άγεται εις την σκέψιν ότι θά έχη την σύνταξιν CuCl.NH₃.H₂O.

Ὁ πειραματισμὸς μὲ τὰ διαλύματα τοῦ ὑποχλωριούχου χαλκοῦ ἦτο ἐξαιρετικὰ δυσχερὴς ἐκ τοῦ γεγονότος ὅτι οὗτος εἶναι λίαν εὐοξειδωτός. Πολλὸς χρόνος κατηνα-

ΠΙΝΑΞ VII. (4N NH ₄ OH)			
Στερεὸς CuCl ἀνά 100 κ. ἐκ. ἀμμωνίας	CuCl ἀνά 100 κ. ἐκ. τελικῆς διαλύματος	Πυκνότης NH ₃ εἰς Mols	
		ἀρχικὸν διάλυμα	τελικὸν διάλυμα
12 γρ.	10.61 γρ.	4.04 mols	3.76 mols
16	13.63	4.04	3.58
20	15.44	4.04	3.12
24	14.18	3.98	2.96
28	12.08	3.98	2.46
32	8.06	3.98	1.76
36	5.73	4.04	1.12
40	3.70	4.04	0.26

ΠΙΝΑΞ VIII. (6N NH ₄ OH)			
Στερεὸς CuCl ἀνά 100 κ. ἐκ. ἀμμωνίας	CuCl ἀνά 100 κ. ἐκ. τελικῆς διαλύματος	Πυκνότης NH ₃ εἰς Mols	
		ἀρχικὸν διάλυμα	τελικὸν διάλυμα
20 γρ.	18.20 γρ.	6.02 mols	5.66 mols
24	21.20	5.96	5.38
26	22.40	6.02	5.29
29	24.04	6.02	5.08
32	23.23	5.96	5.12
40	18.40	5.96	4.16
56	8.16	5.96	0.83

ΠΙΝΑΞ IX. (8N NH ₄ OH)			
Στερεὸς CuCl ἀνά 100 κ. ἐκ. ἀμμωνίας	CuCl ἀνά 100 κ. ἐκ. τελικῆς διαλύματος	Πυκνότης NH ₃ εἰς Mols	
		ἀρχικὸν διάλυμα	τελικὸν διάλυμα
16 γρ.	14.13 γρ.	8.06 mols	7.69 mols
24	21.42	8.06	7.57
32	26.91	8.06	6.74
40	32.49	8.06	6.68
44	30.58	8.04	6.58
50	26.91	8.04	5.66
60	20.82	8.04	3.90

λώθη διὰ νὰ συστηματοποιηθῆ μία τεχνικὴ ὥστε νὰ λαμβάνωνται ἀποτελέσματα ἄτινα ἠδύναντο νὰ ἐπαναληφθοῦν καὶ νὰ ὑπάρξῃ ὁ βαθμὸς ἐκεῖνος τῆς ἀκριβείας ὅστις ἦτο ἀπαραίτητος διὰ τὸν ἱκανοποιητικὸν καθορισμὸν τῆς στερεᾶς φάσεως κατὰ τὴν χημικὴν ἰσορροπίαν.

Ἐξετελέσθησαν ὡσαύτως ἄλλαι σειραὶ πειραμάτων ὅπως καθορισθῆ ἡ διαλυτότης τοῦ ὑποχλωριούχου χαλκοῦ πρῶτον εἰς χλωριούχον ἀμμώνιον καὶ δεύτερον εἰς διάλυμα ἀμμωνίας καὶ χλωριούχου ἀμμωνίου.

Ὁ πίναξ XIII περιέχει τὰ ληφθέντα ἀποτελέσματα τῆς διαλυτότητος τοῦ CuCl εἰς 6N NH₄Cl ἢ δὲ καμπύλη B εἰς τὴν εἰκ. 4, ἐλήφθη ἂν εἰς τὸν ἄξονα τῶν

I.	II.	III.	IV.	V.	VI.	VII.
Γρ. στερεοῦ CuCl ἀρχικῶς τεθέντ εἰς 1000 κ. ἐκ.	CuCl εἰς τὸ διάλυμα ‰	CuCl εἰς τὸ στερεὸν ὑπόλειμμα ‰	Mols CuCl εἰς τὸ ὑπόλειμμα	Ποσότης ἀμμωνίας (Mols)		
				ἀρχικῶς τεθείσα	ἐν τῷ τελικῷ διαλύματι	εἰς στερεὸν ὑπόλειμμα
ΠΙΝΑΞ X. (4N NH ₄ OH)						
Εἰς 1000 κ. ἐκ. διαλύματος						
120	106.1	13.9	0.139	4.04	3.76	0.28
160	136.3	23.7	0.237	4.04	3.58	0.46
200	154.4	45.6	0.456	4.04	3.12	0.92
240	141.8	98.2	0.982	3.98	2.96	1.02
280	120.8	159.2	1.59	3.98	2.46	1.52
320	86.0	234.0	2.34	3.98	1.76	2.26
360	57.3	302.7	3.02	4.04	1.12	2.92
400	37.0	363.0	3.63	4.04	0.26	3.78
ΠΙΝΑΞ XI. (6N NH ₄ OH)						
200	182	18	0.18	6.02	5.66	0.36
240	212	28	0.28	5.96	5.38	0.58
260	224	36	0.36	6.02	5.29	0.73
290	240.4	49.6	0.496	6.02	5.08	0.94
320	232.3	88	0.88	5.96	5.12	0.84
400	184	21.6	2.16	5.96	4.16	1.80
560	81	47.9	4.79	6.02	0.83	5.13
ΠΙΝΑΞ XII. (8N NH ₄ OH)						
160	144.3	18.7	0.187	8.06	7.69	0.37
240	214.2	25.8	0.258	8.06	7.57	0.49
320	269.1	50.9	0.509	8.06	6.74	1.22
400	324.9	75.1	0.751	8.06	6.68	1.38
440	305.8	134.2	1.34	8.04	6.68	1.46
500	269.1	230.9	2.31	8.04	5.66	2.38
600	208.2	391.8	3.91	8.04	3.90	4.14

τετμημένων θέσωμεν τὴν ποσότητα τοῦ CuCl ἥτις ἐτέθη εἰς 100 κ. ἐκ. 6N διαλύματος NH₄Cl εἰς δὲ τὸν τῶν τεταγμένων τὴν ποσότητα τοῦ CuCl ἥτις εὑρέθη εἰς τὸ διάλυμα.

Εἰς τὴν εἰκ. 4, ἡ διακεκομένη γραμμὴ ἀντιπροσωπεύει τελείαν ὑποθετικὴν διάλυσιν τοῦ τιθεμένου ἀρχικῶς CuCl, καὶ ἡ καμπύλη A τὴν διαλυτότητα τοῦ CuCl εἰς 6N NH₄OH, δεικνύει δὲ ὅτι ὁ CuCl εἶναι ὀλίγον τι εὐδιαλυτότερος εἰς χλωριοῦχον ἀμμώνιον ἢ εἰς ἀμμωνίαν τῆς αὐτῆς πυκνότητος.

Κατόπιν τούτου εξετελέσθησαν πειράματα ὅπως σπουδασθῆ ἡ ἐπίδρασις τῆς παρουσίας τοῦ χλωριούχου ἀμμωνίου ἐπὶ τῆς διαλυτότητος τοῦ CuCl εἰς ἀμμωνιακὰ διαλύματα.

Εἰς τὸν πίνακα XIV ἀναγράφονται τὰ ἀποτελέσματα πειραμάτων εἰς τὰ ὁποῖα

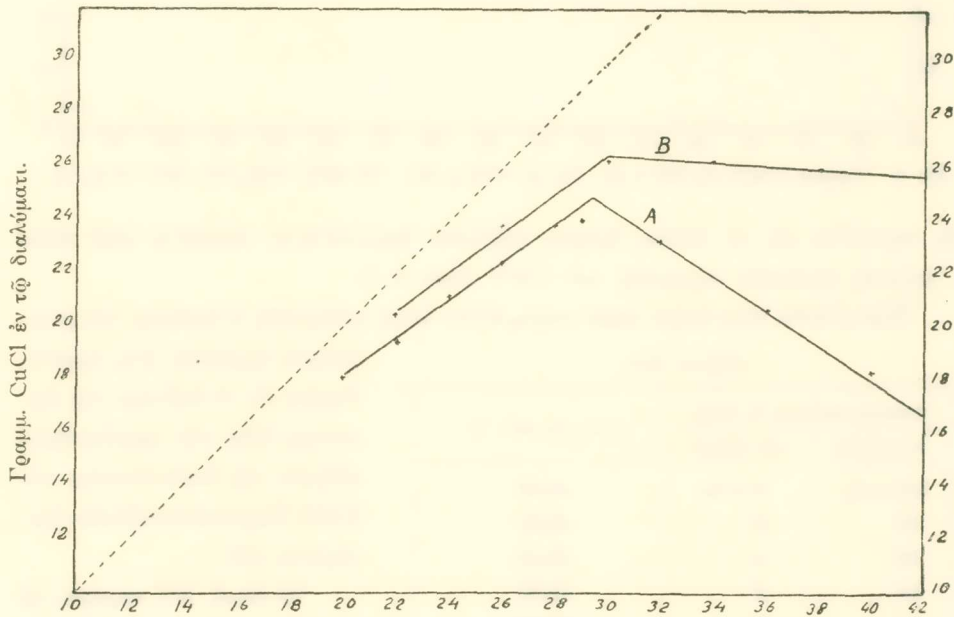
ΠΙΝΑΞ XIII.

ΠΙΝΑΞ XIV.

Στερεὸς CuCl ἀνά 100 κ. ἐκ. 6N NH_4Cl	CuCl εὐρεθεῖς εἰς 100 κ. ἐκ. διαλύματος	Στερεὸς CuCl ἀνά 100 κ. ἐκ. διαλύματος (90 κ. ἐκ. 6N ἀμμ. + 10 κ. ἐκ. 6N NH_4Cl)	CuCl ἀνά 100 κ. ἐκ. τελικοῦ διαλύματος
22 γρ.	20.48 γρ.	22	22
26	23.89	26	26
30	26.30	30	22.85
34	26.30	34	20.85
38	26.00	38	18.20
42	25.70		

ἐχρησιμοποιήθη διάλυμα ἀμμωνίας 6N περιέχον 10% 6N διαλύματος NH_4Cl .

Τὰ ἴδια ἀποτελέσματα ἀπεικονίζονται γραφικῶς εἰς τὴν εἰκόνα 5, καμπύλη B,



Σχ. 4.—Γραμμ. CuCl εἰς 100 κ. ἐκ. 6N (A= NH_4OH) (B= NH_4Cl).

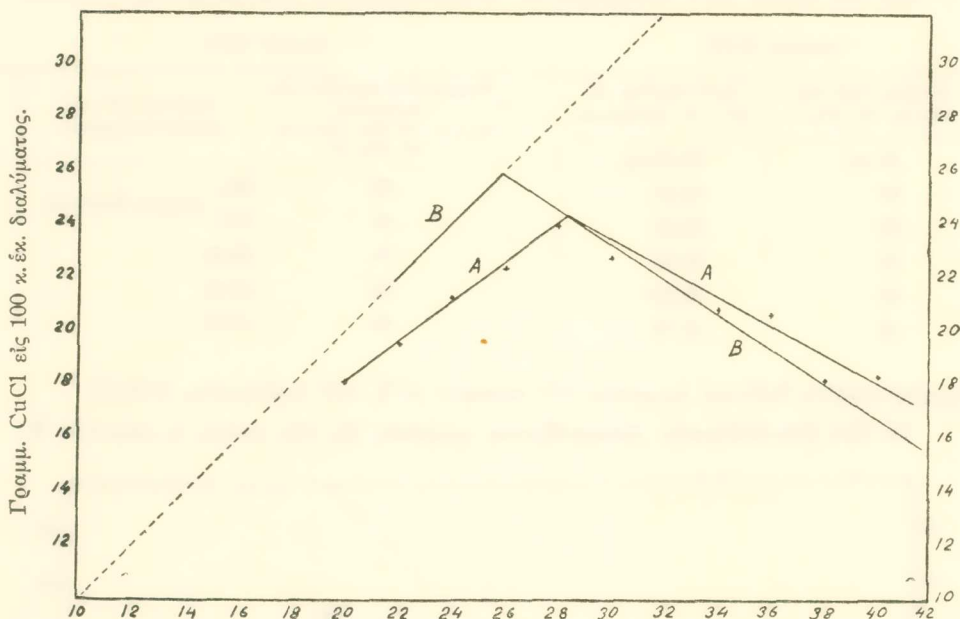
ἐνθα ἡ διακεκομμένη γραμμὴ ἀντιπροσωπεύει ὑποθετικὴν τελείαν διάλυσιν τοῦ ἀρχικῶς τεθειμένου CuCl καὶ ἡ καμπύλη A τὴν διαλυτότητα τοῦ CuCl εἰς 6N NH_4OH .

Ἐὰν συγκρίνη τις τὰς καμπύλας A καὶ B εἰς τὴν εἰκ. 5 θὰ ἴδῃ ὅτι διὰ προσθή-

κης 10% (κατ' όγκον) 6N διαλύματος NH_4Cl εις άμμωνίαν ίσης δυνάμεως

1^ο. Αύξάνεται ή διαλυτότης του CuCl και

2^ο. Έπιτυγχάνεται πλήρης διάλυσις του CuCl αλλά μόνον εις τό σκέλος εκείνο



Σχ. 5.—Γραμμ. CuCl εις 100 κ. έκ. 6N (A= NH_4OH) (B=90% NH_4OH , 10% NH_4Cl).

της καμπύλης εις τό όποϊον έχομεν αύξουσαν διαλυτότητα τουτέστιν εκεί ένθα ή μοριακή άναλογία άμμωνίας και CuCl είναι 2:1.

Έξετελέσθη είτα έτέρα σειρά πειραμάτων όπως καθορισθη ή ποσότης του χλω-

ΠΙΝΑΞ XV.

Σύστασις διαλύτου % όγκος		CuCl ανά 100 κ. έκ.
6N NH_4OH	6N NH_4Cl	
100 κ. έκ.	0 κ. έκ.	24.40
98	2	25.30
96	4	25.40
94	6	24.80
92	8	23.68
90	10	22.85

ριούχου άμμωνίου ήτις προστι-
θεμένη εις τό διάλυμα της άμ-
μωνίας δίδει την μεγαλυτέραν
αύξησιν της διαλυτότητος του
 CuCl . Έχρησιμοποιήθησαν δια-
λύματα 6N.

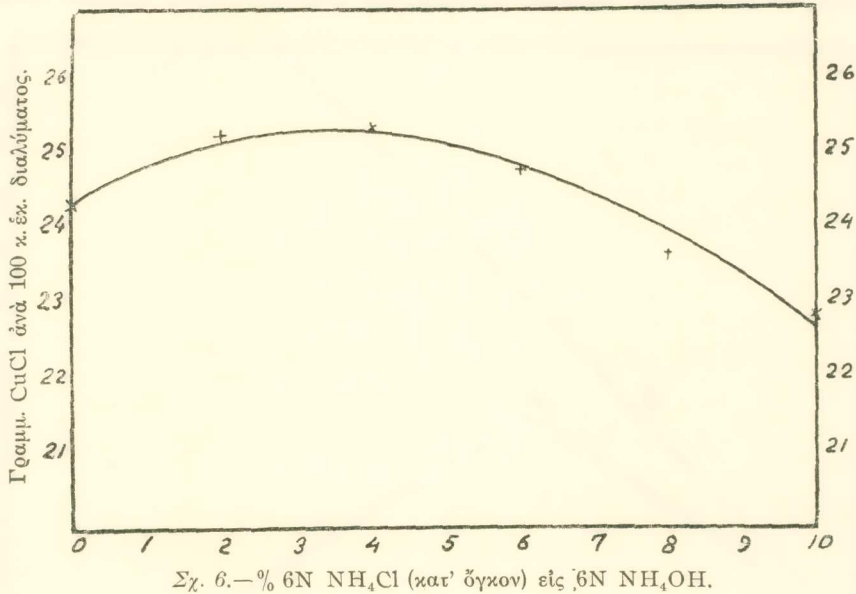
Ό πίναξ XV περιέχει τά
ληφθέντα άποτελέσματα των
πειραμάτων τούτων άτινα εικο-

νίζονται γραφικώς και εις την εικόνα 6. Εις τά πειράματα ταύτα έτίθετο ή αύτη πάντοτε ποσότης CuCl (γραμμάρια 30).

Και έκ του πίνακος και έκ της καμπύλης φαίνεται ότι ή προσθήκη 3% 6N

χλωριούχου άμμωνίου εις 6N άμμωνίαν είναι ή πλέον εύνοοσα ποσότης δια τήν αύξησιν τής διαλυτότητος του CuCl.

Δια να παρασκευασθῆ άμμωνιακόν διάλυμα CuCl ίσης πυκνότητος με τὸ ύδρο-



χλωρικόν τοιοϋτον τὸ όποιον έχρησιμοποίησε οί L. Moser και F. Hanika και ό συγγραφεύς τής παρούσης μελέτης¹ δια πειράματα άπορροφήσεως μονοξειδίου του άνθρακος, έξετελέσθησαν πειράματα εις τά όποια έχρησιμοποίηθη άμμωνία διαφορετικῆς πυκνότητος και δῆ 4N με προσθήκην 5% ίσης δυναμewς διαλύματος, NH₄Cl. Τα άποτελέσματα των πειραμάτων τούτων δεικνύονται εις τόν πίνακα XVI και εικονίζονται εις τήν εικ. 7.

ΠΙΝΑΚΕ XVI.

Στερεός CuCl ανά 100 κ. έκ. διαλύμ. 4N άμμων. περιέχει 5% 4N NH ₄ Cl	CuCl ανά 100 κ. έκ. τελικόν διάλυματος
14	14 τελεία διάλυσις
16	16 » »
18	18 » »
20	17.3
22	16.4
24	15.5
26	14.2

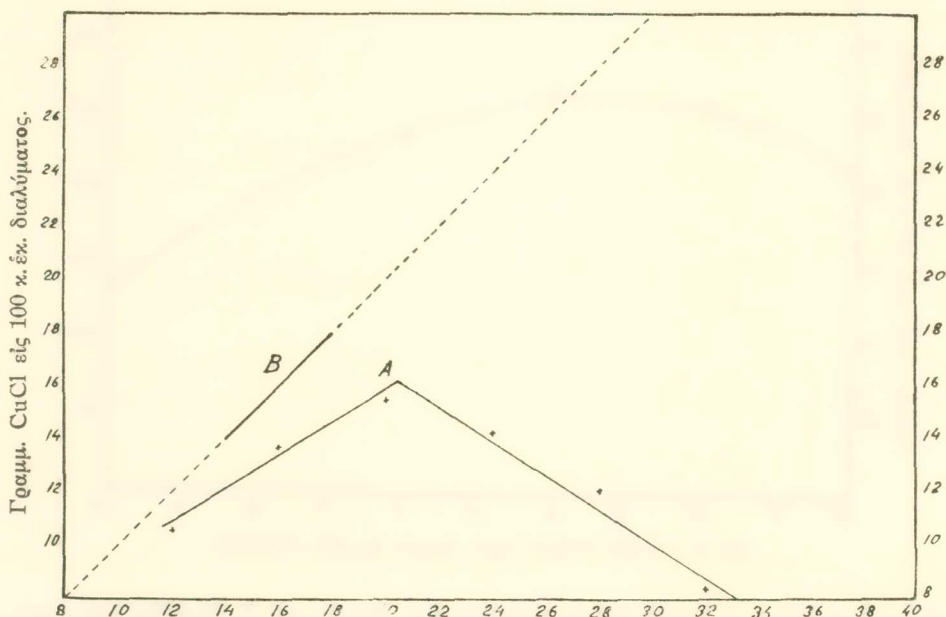
Ἡ καμπύλη Β ελήφθη εὐν εις τὸν ἄξονα τῶν τεταγμένων τεθῆ

τὸ ποσὸν τοῦ CuCl τὸ όποιον εἰτίθετο αρχικῶς εις διάλυμα 4N άμμωνίας περιέχον 5% 4N χλωριούχου άμμωνίου εις δὲ τὸν ἄξονα τῶν τεταγμένων τὸ ποσὸν τοῦ CuCl τὸ όποιον εὑρέθη εις τὸ διάλυμα. Ἡ καμπύλη Α παριστᾷ τήν διαλυτότητα τοῦ CuCl

¹ Praktika 11, 1936, p. 48 (Athens).

εις τήν άμμωνίαν και ή διακεκομένη γραμμή τελείαν ύποθετικόν διάλυσιν τοῦ άρχικῶς τιθεμένου χαλκοῦ.

Καθώς δύναται τις νά ἴδῃ ἀπό τόν πίνακα XVI και τήν καμπύλην 7, ή προσθήκη 5% 4N χλωριούχου άμμωνίου εις άμμωνίαν ἴσης πυκνότητος προκαλεῖ πλήρη



Σχ. 7.—Γραμμ. CuCl ανά 100 κ.έκ. A=6N NH_4OH B=95 κ.έκ. 6N NH_4OH +5 κ.έκ. NH_4Cl .

διάλυσιν τοῦ CuCl , ἀλλ' εις τὸ σκέλος ἐκεῖνο τῆς καμπύλης ὅπου ή μοριακὴ ἀναλογία άμμωνίας και CuCl εἶναι 2:1.

SUMMARY

The solubility of cuprous chloride in ammoniacal solutions of varying strengths and ammonium chloride has been studied.

It seems that, by addition of cuprous chloride to ammonia solutions, two compounds may be formed depending on the quantities of cuprous chloride added a: $\text{CuCl}\cdot\text{NH}_3\cdot\text{H}_2\text{O}$ and b: $\text{CuCl}\cdot 2\text{NH}_3\cdot 2\text{H}_2\text{O}$, of which the latter is more soluble than the former.

Cuprous chloride is slightly more soluble in ammonium chloride solutions than in ammoniacal solutions of the same strength.